

**ИЗВЕСТИЯ ВЫСШИХ УЧЕБНЫХ ЗАВЕДЕНИЙ  
ГЕОЛОГИЯ И РАЗВЕДКА  
2017, № 5**

---

---

**МИНЕРАЛОГИЯ, ПЕТРОГРАФИЯ, ЛИТОЛОГИЯ**

УДК 552.323.6:303.2+553.251.81(571.56-15)

**ОСОБЕННОСТИ ИНДИКАТОРНЫХ МИНЕРАЛОВ КИМБЕРЛИТОВ  
НОВОЙ ТРУБКИ ЯНВАРСКАЯ (ЗАПАДНАЯ ЯКУТИЯ)**

*Д.В. ИВАНОВ, В.В. ИВАНОВ, А.В. ТОЛСТОВ*

*Акционерная компания АЛРОСА (ПАО)  
678175, Республика Саха (Якутия), г. Мирный, ул. Ленина, 6; e-mail: tolstovav@alrosa.ru*

Приведены первые результаты минералого-петрографических исследований микрообломков кимберлитов из базального горизонта верхнепалеозойских отложений Алакит-Мархинского кимберлитового поля (Западная Якутия). Выявлены главные особенности индикаторных минералов кимберлитов (ИМК): пикрольменита, пиропа, хромшпинелидов, флогопита, хромдиопсида и оливина. Намечены пути их дальнейшего изучения в связи с поисками кимберлитовых тел. Открытие трубы Январская подтвердило правильность методики опробования базальных горизонтов верхнепалеозойских отложений по керну скважин. В составе кимберлитов новой трубы обнаружены минералы, содержащие редкоземельные элементы (РЗЭ), что требует проведения дальнейших исследований. Результаты изучения ИМК трубы Январская пополняют базу данных по Алакит-Мархинскому полю и позволяют надёжнее прогнозировать и выявлять новые объекты, в том числе высокоалмазоносные.

Ключевые слова: кимберлиты; трубы; Алакит-Мархинское поле; Западная Якутия.

**THE FEATURES OF THE INDICATOR MINERALS OF KIMBERLITES  
IN A NEW PIPE YANVARSKAJA (WESTERN YAKUTIA)**

*D.V. IVANOV, V.V. IVANOV, A.V. TOLSTOV*

*ALROSA Public Joint Stock Company  
678175, Russia, Yakutia, Mirny, Lenina str., 6; e-mail: tolstovav@alrosa.ru*

The first results of the mineral-petrographic studies of microclastes of kimberlites from the basal horizon of the Upper Paleozoic deposits of the Alakit-Markhinsky kimberlite field (Western Yakutia) have been presented. The main features of the indicator minerals of kimberlites (IMK) have been revealed. These minerals are picroilmenite, pyrope, chromspinel, phlogopite, chromdiopside and olivine. The ways of their further studying in connection with the search for kimberlite bodies have been outlined. The opening of the Yanvarskaja pipe has confirmed the correctness of the methodology for testing the basal horizons of the Upper Paleozoic deposits on the core of the wells. Minerals containing rare-earth elements (REE) have been found in the kimberlites of the new tube, which requires further research. The results of the study of the IMK of Yanvarskaja pipe serve as a supplement to the database on the Alakit-Markhinsky field and allow more reliable prediction and identification of new objects, including high-diamond ones.

Keywords: kimberlites; pipes; Alakit-Markhinsky field; Western Yakutia.

Алакит-Мархинское кимберлитовое поле (Западная Якутия) занимает западную часть Далдыно-Алакитского района Якутской алмазоносной провинции. Поле характеризуется наличием промышленных объектов (месторождения алмазов Айхал, Юбилейная, Комсомольская) и обилием слабо- и убогоалмазоносных кимберлитовых тел [1, 3, 13, 15]. В январе 2016 г. при поисковых работах, выполняемых Амакинской экспедицией АК АЛРОСА (ПАО) в восточной части Алакит-Мархинского поля на участке Перевальный-север было выявлено новое кимберлитовое тело Январское, сложенное преимущественно порфировыми кимберлитами. Из индикаторных минералов кимберлитов (ИМК) зафиксированы пикроильменит, пироп, хромшпинелид, флогопит, хромдиопсид и оливин. Первые результаты по изучению минералогии и петрографии нового кимберлитового тела были получены по микрообломкам из шлиховых проб, отобранных из керна колонковых скважин, вскрывших базальный горизонт верхнепалеозойских отложений. Ниже приведены первые результаты минералогических и петрографических исследований, изучения главных типоморфных особенностей индикаторных минералов кимберлитов трубки Январская и обозначены направления дальнейшего изучения при решении поисковых задач.

### Вещественный состав кимберлитов

После открытия нового кимберлитового тела был оперативно изучен вещественный состав порфировых кимберлитов по 25 обломкам, выявленным в трёх пробах (№ 6, 7, 8), отобранных из керна первой скважины 5071/4. Точная (инструментальная) диагностика микрообломков проведена в режиме СЭМ в Центральной аналитической лаборатории (ЦАЛ) АК АЛРОСА (ПАО) на микроанализаторе JXA-8800R (Jeol) с использованием энергодисперсионной приставки Link (Oxford).

**Проба № 6 (глубина 117,0 м).** Изучено 20 обломков гранулометрического класса -2+1 мм. Обломки визуально однотипные, грязно-серовато-зелёного цвета, угловатой формы (рис. 1). По минеральному составу обломки практически идентичны. Строение преобладающего большинства из них мелкопорфирное, единичные обломки представляют собой отдельные сравнительно крупные псевдоморфозы серпентин-кальцитового состава по оливину. В псевдоморфозах по оливину в обломках развит серпентин двух разновидностей: более магнезиальный в центральной части и более железистый по периферии. Средние соотношения основных пордообразующих оксидов в них следующие (в мас. %): серпентин центральной части псевдоморфоз:  $\text{SiO}_2$  42,9,  $\text{MgO}$  39,5,  $\text{FeO}$  2,3,  $\text{Al}_2\text{O}_3$  0,6, серпентин краевой части псевдоморфоз:  $\text{SiO}_2$  42,2,  $\text{MgO}$  38,5,  $\text{FeO}$  4,9,  $\text{Al}_2\text{O}_3$  0,9. Кальцит в со-



Рис. 1. Фото обломков кимберлитов Январского тела (проба № 6, глубина 117,0 м)

ставе псевдоморфоз по оливину отмечен в переменных количествах, также нередки кальцитовые каймы вокруг псевдоморфоз. Вокруг некоторых псевдоморфоз наблюдаются тонкие плёнки магнетита. В составе единичных псевдоморфоз присутствует также (в мас. %) высокомагнезиальный ( $\text{MgO}$  22,8) флогопит с повышенными содержаниями  $\text{TiO}_2$  (2,4) и  $\text{Cr}_2\text{O}_3$  (0,9). В псевдоморфозах диагностированы хромит, рутил, пикроильменит, магнетит, в одном случае — пентландит. Включения расположены, как правило, в краевых частях.

**Хромит**, присутствующий во включениях в псевдоморфозах по оливину, представлен идиоморфными зёрнами, состав которых (мас. %):  $\text{Cr}_2\text{O}_3$  40,9–46,2,  $\text{FeO}$  27,2–35,4,  $\text{MgO}$  8,7–10,5,  $\text{Al}_2\text{O}_3$  3,9–6,1,  $\text{TiO}_2$  4,7–5,3.

**Пикроильменит** включений высокомагнезиальный (мас. %)  $\text{MgO}$  11,5–13,5 с высоким содержанием примеси хрома ( $\text{Cr}_2\text{O}_3$  2,9–4,7 мас. %). В отдельных микрообломках установлены также порфировые выделения шиловидного пикроильменита размером 0,15–0,3 мм в оторочке из рутила. Вариации содержаний основных пордообразующих оксидов в пикроильмените (мас. %):  $\text{TiO}_2$  48,6–53,8,  $\text{FeO}$  28,6–34,7,  $\text{MgO}$  10,9–13,2,  $\text{Cr}_2\text{O}_3$  0,9–4,4. Краевые части пикроильменита характеризуются более высоким содержанием  $\text{MgO}$  (11,9–14,4) и  $\text{Cr}_2\text{O}_3$  (2,1–4,4). Нередко по периферии зёрен пикроильменита развиты реакционные шпинелиды — хромит и хромсодержащий титаномагнетит.

**Серпентин** основной массы менее магнезиальный, в сравнении с серпентином псевдоморфоз по оливину, и в нём отмечено повышенное содержание примеси глинозема. Усредненный состав серпентина основной массы следующий (мас. %):  $\text{SiO}_2$  41,2,  $\text{MgO}$  35,7,  $\text{FeO}$  4,9,  $\text{Al}_2\text{O}_3$  1,4. Серпентин в той или иной степени хлоритизирован, с образованием Mg-Fe хлорита, в котором содержание  $\text{FeO}$  варьирует в пределах 11,9–12,9.

**Флогопит** во включениях высокомагнезиальный (мас. %):  $\text{MgO}$  20,9–27,9, нередко частично

хлоритизирован или кальцитизирован, характеризуется повышенными содержаниями  $TiO_2$  (0,4–2,7) и/или  $Cr_2O_3$  (0,4–1,2). В краевых частях установлено повышенное содержание  $BaO$  (1,1–7,1). Основная масса — серпентин-кальцитовый агрегат (в различных соотношениях), где кальцит нередко образует зёрна удлинённой формы.

**Флогопит** основной массы высокомагнезиальный, ему свойственны повышенные содержания (мас. %):  $TiO_2$  (1,7–3,5) и/или  $Cr_2O_3$  (0,5–1,5), в краевых частях —  $BaO$  (1,2–13,6). В хлоритизированных разностях содержание  $FeO$  составляет 9,3–13,9. Оксиды в основной массе представлены пикроильменитом, хромитом, титаномагнетитом и рутилом.

**Пикроильменит** основной массы, представлен преимущественно высокомагнезиальными разностями (мас. %):  $MgO$  11,1–14,1 с повышенными и высокими содержаниями примеси  $Cr_2O_3$  (0,7–4,7). Единичные зёрна характеризуются умеренным (9,8–10,9) и низким (6,1) содержанием  $MgO$  и высокими содержаниями  $Cr_2O_3$  (1,9–2,3).

**Хромит** основной массы представлен идиоморфными зёрнами, размером в среднем около 0,01 мм, который образует ядра зональных образований. Хромит высокотитанистый (мас. %): 5,3–10,8  $TiO_2$ , в нём отмечены довольно широкие вариации содержаний  $Cr_2O_3$  (27,2–48,5) и  $FeO$  (26,9–47,1) при сравнительно небольших вариациях  $MgO$  (7,2–11,0) и  $Al_2O_3$  (2,9–5,2). В краевых частях зёрен хромита развит рутил, тонкие (0,001 мм) оторочки представлены  $Cr$ -содержащим титаномагнетитом (1,3–3,3  $Cr_2O_3$ ).

**Титаномагнетит** основной массы имеет следующий состав (мас. %):  $FeO$  61,1–71,8,  $TiO_2$  5,6–13,9,  $MgO$  4,6–9,4,  $Cr_2O_3$  1,6–8,6,  $Al_2O_3$  1,2–6,0.

**Рутил** образует гомогенные зёрна размером в среднем около 0,01 мм, рубашки вокруг зёрен пикроильменита, а также более крупные полуразрушенные зёрна, которые, вероятно, представляют собой фрагменты рубашек пикроильменита. Судя по пониженному содержанию в нем  $TiO_2$  (88,6–95,4 мас. %), рутил замещен лейкоксеном. Кроме того, в рутиле установлена устойчивая примесь  $FeO$  в количествах 0,5–3,5 мас. %.

В качестве акцессорной примеси в нескольких обломках установлены единичные зёрна апатита короткостолбчатой формы, размером 0,005–0,01 мм.

В ряде обломков встречается также минерал, образующий изометричные или ксеноморфные зёрна размером около 0,015 мм, в котором определены редкоземельные элементы Ce, La и Nd. Количественно содержания данных элементов не определялись, но, судя по присутствию в спектре элементов Ca, C, O, можно предположить, что данный минерал может быть карбонатом (водным карбонатом), хотя наличие в спектре углерода может быть также обусловлено углеродным напылением.

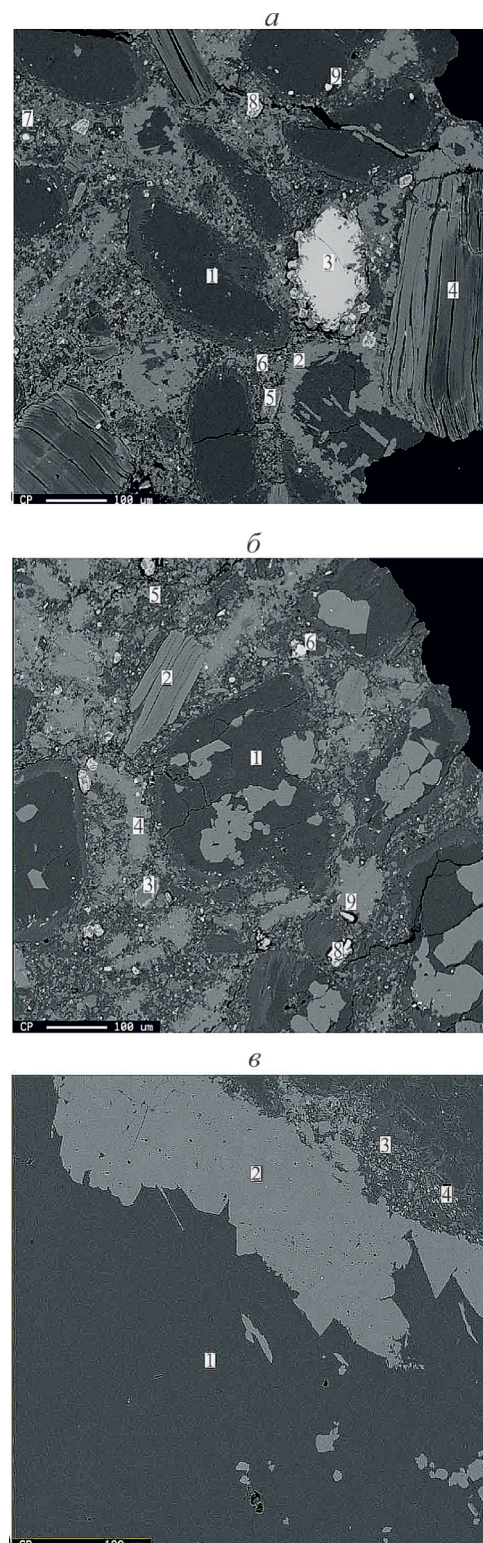


Рис. 2. Микрообломки кимберлитов в режиме фазового контраста (проба № 6, глубина 117,0 м): *a* — 1 — псевдоморфоза серпентина по оливину; 2 — кальцит по периферии псевдоморфозы; 3 — пикроильменит; 4 — флогопит порфировый; 5 — флогопит основной массы; 6 — серпентинит основной массы; 7 — хромит; 8 — рутил; 9 — хромит в псевдоморфозе; *b* — 1 — псевдоморфоза серпентин-кальцитового состава по оливину; 2, 3 — флогопит; 4 — кальцит основной массы; 6 — хромит; 7 — рутил; 8 — титаномагнетит; 9 — пикроильменит; *c* — 1 — серпентин; 2 — кальцит; 3 — хлорит; 4 — рутил

Ниже приведены представительные фотографии обломков кимберлитов пробы № 6, выполненные в режиме фазового контраста, с указанием слагающих их минеральных фаз (рис. 2). По результатам микрозондового изучения обломки не имеют явных различий в составе и подобны обломкам, полученным из пробы № 6. Кимберлит, слагающий обломки, характеризуются мелкопорфировым строением, образованным вкрапленниками-псевдоморфозами по оливину, выполненными серпентином или серпентин-кальцитовым агрегатом. В серпентине из центральных частей псевдоморфоз среднее содержание MgO составляет (в мас. %): 39,0, FeO – 2,2, в серпентине краевых частей псевдоморфоз – MgO – 37,2 и FeO – 5,5. Изучено четыре микрообломка гранулометрического класса -2+1 мм. Обломки визуально однотипные, грязно-серовато-зелёного цвета, угловатой формы (рис. 3). Основная масса сложена серпентин-кальцитовым агрегатом, где серпентин в разной степени хлоритизирован. Флогопит основной массы высокомагнезиальный (в мас. %) – MgO 16,9–24,8, содержит примеси TiO<sub>2</sub> 1,3–3,9 и/или Cr<sub>2</sub>O<sub>3</sub> 0,5–1,5; краевые части зёрен обогащены BaO 0,7–3,9, в одном анализе – до 20. Нередко флогопит частично хлоритизирован. Микрокристаллические оксиды представлены (в мас. %): хромитом (Cr<sub>2</sub>O<sub>3</sub> 17,2–46,8, FeO 27,2–47,1, TiO<sub>2</sub> 5,1–13,6, MgO 8,9–10,4, Al<sub>2</sub>O<sub>3</sub> 4,1–4,7) зонального строения, высокомагнезиальным пикроильменитом: MgO 12,2–13,7 с примесью Cr<sub>2</sub>O<sub>3</sub> в количестве 1,7–4,4, хромсодержащим (Cr<sub>2</sub>O<sub>3</sub> 3,8–4,0) титаномагнетитом, лейкоксенитированным рутилом. В одном обломке пробы № 6, диагностирован минерал содержащий РЗЭ, другой обломок представлен серпентин-кальцитовой псевдоморфозой по оливину с вкраплениями барита. Ниже приведены фотографии отдельных микрообломков в режиме фазового контраста (рис. 4).

**Проба № 8 (глубина 141,0 м).** Изучен один микрообломок размером -2+1 мм, угловатой формы, грязно-серовато-зелёного цвета (рис. 5). На рис. 6 в режиме фазового контраста показан обломок, который ни по структурно-текстурным особенностям, ни по составу не отличается от предыдущих. Вкрапленники в нём представлены псевдоморфозами по оливину, выполненными серпентином или серпентин-кальцитовым агрегатом и высокомагнезиальным (MgO – 12,2 мас. %) пикроильменитом с примесью Cr<sub>2</sub>O<sub>3</sub> (2,6). Основная масса сложена серпентин-кальцитовым агрегатом, где серпентин в той или иной степени хлоритизирован. Флогопит основной массы высокомагнезиальный (MgO 23,3–25,3 мас. %), содержит повышенные примеси TiO<sub>2</sub> (1,3–1,9 мас. %), в краевых частях зёрен отмечено повышенное содержание BaO (до 1,2 мас. %). Нередко флогопит хлоритизирован. Микрокристаллические включения представлены

2 mm



Рис. 3. Обломки кимберлитов (проба № 7, глубина 124,0 м)

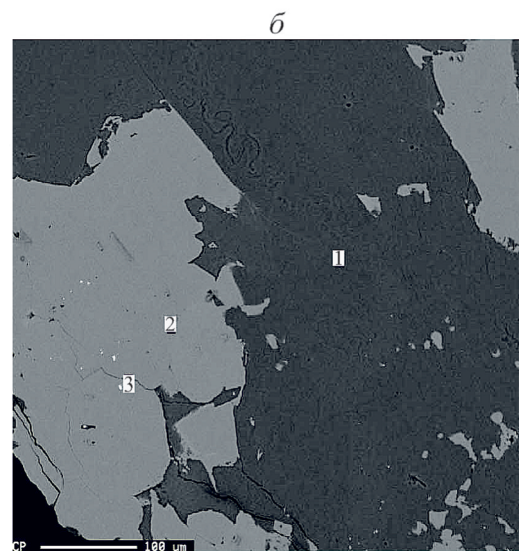
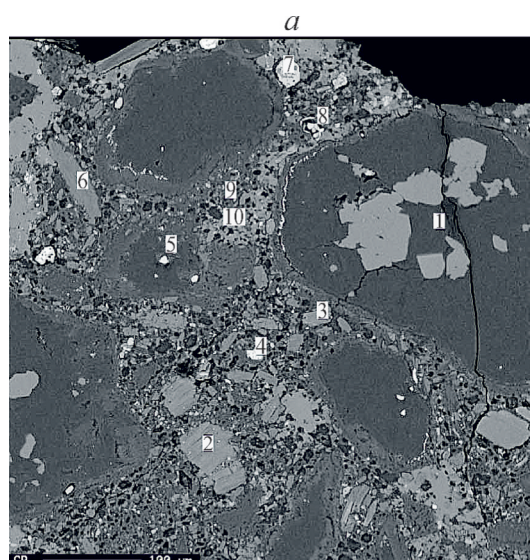


Рис. 4. Обломки кимберлитов (проба № 7, глубина 124,0 м) в режиме фазового контраста: *a* – 1 – псевдоморфоза серпентин-кальцитового состава по оливину; 2, 3, 6 – флогопит; 4 – титаномагнетит; 5 – хромит в псевдоморфозе; 7 – рутил; 8 – хромит зональный; 9 – серпентин основной массы; 10 – кальцит основной массы; *б* – 1 – серпентин; 2 – кальцит; 3 – барит



Рис. 5. Обломок кимберлита (проба № 8, глубина 141,0 м)

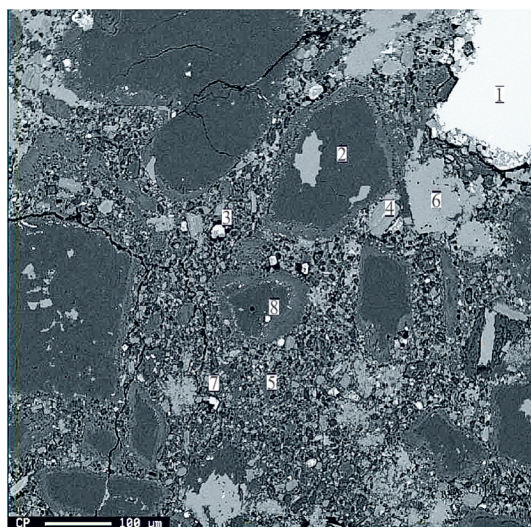


Рис. 6. Обломок кимберлита пробы № 8, глубина 141,0 м) в режиме фазового контраста: 1 – пикроильменит; 2 – псевдоморфоза серпентина по оливину; 3 – рутил; 4 – флогопит основной массы; 5 – серпентинит основной массы; 6 – кальцит основной массы; 7 – хромит основной массы

хромитом ( $\text{Cr}_2\text{O}_3$  27,4,  $\text{FeO}$  43,6,  $\text{TiO}_2$  10,9,  $\text{MgO}$  9,8,  $\text{Al}_2\text{O}_3$  3,9 мас. %), высокомагнезиальным ( $\text{MgO}$  13,3 мас. %) пикроильменитом с примесью  $\text{Cr}_2\text{O}_3$  (3,2, мас. %), лейкоксенализированным рутилом (рис. 7).

### Особенности состава индикаторных минералов кимберлита

Традиционно к основным индикаторным минералам кимберлита (ИМК) относят гранат (пироп), высокомагнезиальный ильменит (пикроильменит), хромшпинелид, оливин и хромдиопсид. В ходе исследований кимберлитового тела Январское были изучены физиографические особенности и проанализированы следующие зёрна ИМК: гранат (174 зерна), пикроильменит (194), хромдиопсид (100), хромшпинелид (91), оливин (2).

**Гранат.** Положение фигуративных точек гранатов кимберлитового тела в координатах  $\text{Cr}_2\text{O}_3$ – $\text{CaO}$  [1] приведено на рис. 7. Гранаты харак-

теризуются преобладанием лерцолитового (65,5 %) парагенезиса, зёрен дунит-гарцбургитового состава, 20,7 %, верлитового – 13,8 %. Гранаты эклогитового парагенезиса, к которому отнесены зёрна с содержанием  $\text{Cr}_2\text{O}_3$  менее 0,5 мас. %, не зафиксированы. Среди гранатов установлены 19 пиропов (10,9 %) ультраосновного парагенезиса алмазной ассоциации. Средние содержания основных оксидов:  $\text{Cr}_2\text{O}_3$  5,38,  $\text{CaO}$  5,34,  $\text{MgO}$  20,19,  $\text{FeO}$  8,20 мас. %. В среднем гранаты высокохромистые, с преобладанием хромистости в интервале 2–5 мас. % (33,9 %), умеренно-кальциевые, умеренно-магниевые, умеренно-железистые.

**Пикроильменит.** Положение фигуративных точек пикроильменитов Январского тела в координатах  $\text{TiO}_2$ – $\text{MgO}$  [3] приведено на рис. 7. Пикроильмениты характеризуются преобладанием (73,7 %) зёрен с содержанием гематитового минала в интервале 10–20 мол. %. Доля зёрен с содержанием  $\text{Fe}_2\text{O}_3$  5–10 мол. % составляет 24,7 %, 0–5 мол. % – 0,5 %, а при  $\text{Fe}_2\text{O}_3 > 20$  мол. %, – 1,0 %. Средние содержания  $\text{TiO}_2$  49,81,  $\text{MgO}$  10,68,  $\text{Cr}_2\text{O}_3$  1,51,  $\text{FeO}$  36,37 мас. %. В целом пикроильмениты высокохромистые, умеренномагнезиальные, низкохромистые. Большинство зёрен (61,3 %) обладают магнезиальностью 9–12 мас. %.

**Хромшпинелид.** Положение фигуративных точек хромшпинелидов кимберлитового тела в координатах  $\text{Cr}_2\text{O}_3$ – $\text{Al}_2\text{O}_3$  представлено на рис. 7. Распределение фигуративных точек образует два тренда: перидотитовый, вдоль линии хромит-алюмохромит-хромпикотит и слабовыраженный пикритовый, вдоль линии хромит-ульвошпинель-титаномагнетит [2]. Преобладают собственно хромиты (51,6 %), доля алюмохромитов составляет 23,1 %, изменённых зёрен – 24,2 %, ульвошпинель зафиксирована в количестве 1,1 %. Хромиты алмазной ассоциации составляют 3,3 %. Средние содержания основных минералообразующих оксидов (мас. %):  $\text{Cr}_2\text{O}_3$  49,14,  $\text{Al}_2\text{O}_3$  11,75,  $\text{FeO}$  23,14,  $\text{MgO}$  12,18,  $\text{TiO}_2$  1,82.

**Оливин.** По Январскому телу получены результаты двух определений оливинов. Средние содержания основных минералообразующих оксидов (мас. %):  $\text{MgO}$  48,74,  $\text{FeO}$  9,98,  $\text{Na}_2\text{O}$  0,01,  $\text{SiO}_2$  37,21,  $\text{Al}_2\text{O}_3$  0,02,  $\text{CaO}$  0,04.

**Хромдиопсид.** По результатам 100 определений хромдиопсидов средние содержания основных минералообразующих оксидов в них составили (мас. %):  $\text{MgO}$  15,04,  $\text{Na}_2\text{O}$  2,93,  $\text{SiO}_2$  51,70,  $\text{CaO}$  18,22,  $\text{Cr}_2\text{O}_3$  2,93.

### Выводы

По результатам детального изучения вещественного состава кимберлита и его индикаторных минералов, полученного по микробломкам, отобранным из проб первой скважины 5071Л/4, вскрывшей новое кимберлитовое тело трубку Январская, можно сделать следующие предварительные выводы:

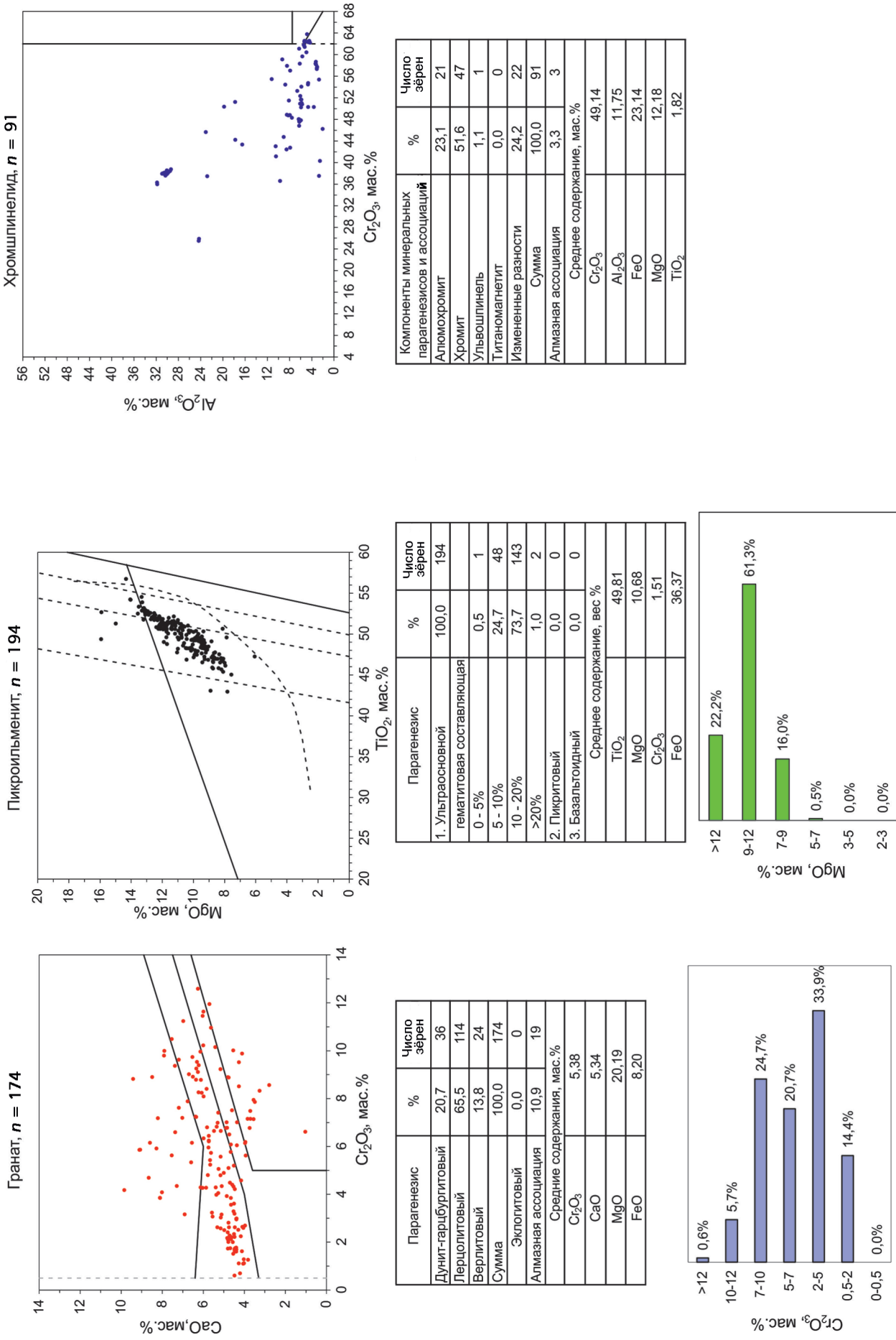


Рис. 7. Химические составы гранатов, никромильменитов и хромшинеллов кимберлитового тела Январское

1. Открытие трубы Январская свидетельствует о правильности применения методики шлихоминералогического опробования керна базальных горизонтов, вскрываемых колонковыми скважинами погребённых верхнепалеозойских отложений, которая позволяет успешно выявлять новые кимберлитовые тела в пределах перспективных площадей.

2. Изучение кимберлитов по микрообломкам кимберлитов позволяет оперативно установить особенности вещественного состава нового кимберлитового тела. Все изученные обломки имеют сходный состав и структурно-текстурные особенности, присущие одному коренному источнику (трубке Январская), вариаций в их составах не отмечено.

3. Отличительной особенностью выявленных кимберлитов трубы Январская является обнару-

жение в их составе (проба №6, глубина 117,0 м и № 7, глубина 124,0 м) по рентгеновским спектрам минералов (предположительно карбонатов), содержащих РЭЭ, что требует проведения дальнейших тонких инструментальных исследований.

4. По результатам изучения особенностей химизма индикаторных минералов кимберлитов следует отметить, что полученные результаты по химизму ИМК трубы Январская являются весомым дополнением к существующей базе данных по Алакит-Мархинскому полю. Они, безусловно, помогут в вопросе идентификации существующих погребённых шлиховых ореолов минералов-индикаторов кимберлита, что в свою очередь позволит более надёжно прогнозировать и выявлять новые кимберлитовые объекты, в том числе высокоалмазоносные [1, 2, 4, 11].

## ЛИТЕРАТУРА

- Белов С.В., Лапин А.В., Толстов А.В., Фролов А.А. Минерагения платформенного магматизма (траппы, карбонатиты, кимберлиты). Новосибирск: Изд-во СО РАН, 2008. 537 с.
- Василенко В.Б., Толстов А.В., Кузнецова Л.Г., Минин В.А. Петрохимические критерии оценки алмазоносности кимберлитовых месторождений Якутии // Геохимия. 2010. № 4. С. 366–376.
- Иванов Д.В., Салихов Р.Ф., Толстов А.В., Иванов В.В., Григорьева Н.А. Особенности поисков кимберлитов в пределах Алакит-Мархинского поля // Геология и минерально-сырьевые ресурсы Северо-Востока России. Материалы VII Всероссийской конференции, ВНПК-2017. Якутск: Изд-во СВФУ, 2017. С. 266–271.
- Игнатов П.А., Бушков К.Ю., Штейн Я.И., Толстов А.В., Яныгин Ю.Т. Геологические и минералого-геохимические признаки структур, контролирующих алмазоносные кимберлиты Накынского поля Якутии // Руды и металлы. 2006. № 4. С. 59–67.
- Кременецкий А.А., Карась С.А., Толстов А.В. Геохимические поиски кимберлитовых трубок на закрытых территориях: проблемы и решения // Региональная геология и металлогения. 2006. № 27. С. 126–139.
- Лапин А.В., Толстов А.В., Антонов А.В. Изотопный состав Sr- и Nd кимберлитов и конвергентных с ними пород Сибирской платформы // Докл. РАН, 2007. Т. 414. № 1. С. 78–82.
- Мальцев М.В., Толстов А.В., Фомин В.М., Старкова Т.С. Новое кимберлитовое поле в Якутии и типоморфные особенности его минералов-индикаторов. // Вестник ВГУ. Серия: Геология. 2016. № 3. С. 86–94.
- Симоненко В.И., Толстов А.В., Васильева В.И. Новый подход к геохимическим поискам кимберлитов на за- крытых территориях // Разведка и охрана недр. 2008. № 4–5. С. 108–112.
- Соболев Н.В. О минералогических критериях алмазоносности кимберлитов // Геология и геофизика. 1971. № 3. С. 70–80.
- Соболев Н.В., Соболев А.В., Томиленко А.А., Батанова В.Г., Толстов А.В., Логинова А.М., Кузьмин Д.В. Уникальные особенности состава вкрапленников оливина посттрапповой алмазоносной кимберлитовой трубы Малокуонапская, Якутия // Докл. РАН. 2015. Т. 463. № 5. С. 587–591.
- Толстов А.В., Минин В.А., Василенко В.Б., Кузнецова Л.Г., Разумов А.Н. Новое тело высокоалмазоносных кимберлитов в Накынском поле Якутской алмазоносной провинции // Геология и геофизика. 2009. Т. 50. № 3. С. 227–240.
- Харьков А.Д., Зинчук Н.Н., Крючков А.И. Геолого-генетические основы шлихоминералогического метода поисков алмазных месторождений. М.: Недра, 1995. 348 с.
- Хмельков А.М. Основные минералы кимберлитов и их эволюция в процессе ореолообразования (на примере Якутской алмазоносной провинции). Новосибирск: АРТА, 2008. 252 с.
- Шкодзинский В.С., Толстов А.В. Признаки алмазоносности кимберлитов // Наука и образование. 2007. № 4. С. 11–16.
- Agashev A.M., Pokhilenko N.P., Mal'kovets V.G., Sobolev N.V., Tolstov A.V., Polyanichko V.V. New age data on kimberlites from the Yakutian diamondiferous province // Doklady Earth Sciences. 2004. Т. 399. N 8. P. 1142–1145.